

弹性関節を用いた 6 自由度 RTS 型パラレルプラットフォーム機構*

(運動分析および力釣合い方程式)

王 少 遼^{*1}, 斎田 弘光^{*2}, 花島 直彦^{*2}
山下 光久^{*2}, 趙 永 生^{*3}

A 6 D. O. F. RTS Parallel Manipulator with Elastic Joints (Kinematic Analysis and Force-Balance-Equation)

Wang SHAOCHI, Hiromitsu HIKITA, Naohiko HANAJIMA,
Mitsuhisa YAMASHITA and Zhao YONGSHENG

This paper is concerned with a novel type of small 6 D. O. F. RTS fully parallel manipulator with elastic joints. The elastic joints are used to realize highly precise operation of the manipulator. Rotary input is applied to drive six groups of four-bar linkages in this mechanism. We establish two displacement equations of the mechanism and present the inverse kinematic analysis including the motion of four-bar linkages. The bending and torsional deformations of elastic joints are further investigated from the kinematic viewpoint of the mechanism. Then we derive elastic moments and torques for the case that the motion can be described by the linear model in the elastic deformation range. Finally, we obtain an equivalent force-balance-equation of the 6 D. O. F. parallel mechanism where all the elastic moments and torques and all the input torques and loads of the upper platform are included.

Key Words: Parallel Manipulator, Kinematic Analysis, Force-Balance-Equation, Elastic Joints, Error Compensation

1. 緒 言

パラレルメカニズムは高剛性、高精度などの特徴をもつていて、いろいろな観点から研究されてきた^{(1)~(8)}。伝統的なパラレルスチュワートプラットフォーム機構は 6 自由度の SPS 型動作を 6 本の油圧シリンダを伸縮して実現する。これに対して、Hudgens と Tesar は 1988 年に 6-RTS 型パラレルプラットフォーム機構の一種を提案した⁽⁹⁾。この機構では回転動作入力を与えることができ、パラレル機構で重要な特性、小型化、軽量化、高剛性、高精度化などをいっそう進めることができる。一方、回転関節を弾性関節に置き換えた研究もある⁽¹⁰⁾。従来からあるパラレルメカニズムと弾性関節を組合せることにより、プラットフォーム機構をさらに簡単な構造にすることができる。ここで検討する新型パラレルメカニズムは上側プラットフォームと下側プラットフォームが図 1 のような弾性関節をもつリンク 6 本で結合されている(図 2)。したがって、この機構では関節に他の可動関節

のような間隙誤差が存在しないので、高い精度が保たれる。また、これらのリンクを駆動するモータは下側プラットフォームの裏に配置され全体のコンパクトさ

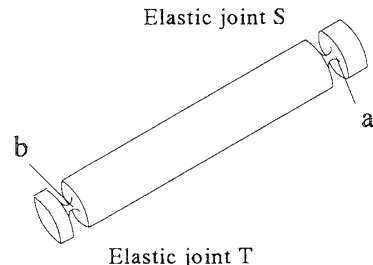


Fig. 1 A link with elastic joints

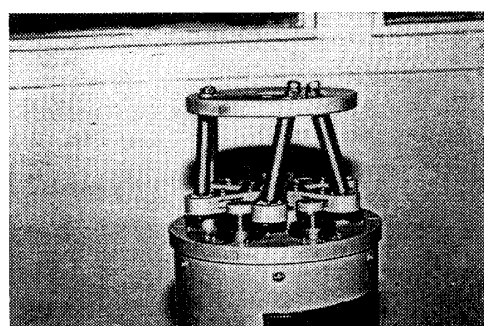


Fig. 2 6-RTS parallel platform mechanism with elastic joints

* 原稿受付 1996 年 12 月 24 日。

*1 准員, 室蘭工業大学大学院 (〒050 室蘭市水元町 27-1)。

*2 正員, 室蘭工業大学機械システム工学科。

*3 中国燕山大学機械工程学院 (〒066004 中国河北省秦皇島市河北大街西段 169 号)。

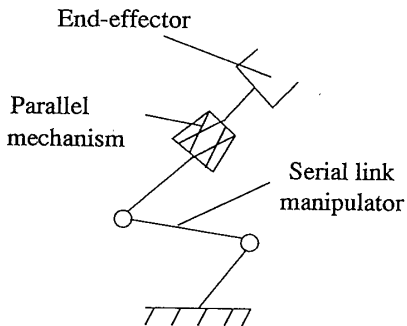


Fig. 3 A conceptional sketch of compensator

は失われない。結局、ここで対象とする機構はパラレルメカニズムの特性と弾性関節の長所を合せもつコンパクトなプラットフォーム機構といえる。

この機構は、パラレルメカニズムの特性を保持しながら、小さな動作範囲内で極めて高い精度で位置、姿勢決めを行う場合に広く利用できる。一例として、位置と姿勢誤差をハード的に補償する装置として用いることができよう。例えば、図3の概念図に示すようにロボットのエンドエフェクタにこのパラレルプラットフォーム機構を置き、上側プラットフォームを駆動することにより、ロボットのエンドエフェクタの位置と姿勢を微妙に調整できる。したがって、ロボット動作の精度を向上する上で極めて有効である。

弾性関節を用いた上記の新型パラレルプラットフォーム機構の理論的な解析は現在のところ十分には行われていない。この解析は適切な特性をもつ機構を設計、製作する上で重要である。本論文では位置方程式を形成し、上側プラットフォームからてこクランク機構までを含めた運動分析を行い、全体の逆運動学公式を導く。また、弾性関節が弾性変形範囲にあるとき、つまり、線形モデルが成立する条件の下で、弾性関節の運動および弾性モーメントを明らかにし、弾性モーメントを含む力釣合い方程式を導く。

2. 対象とするパラレルプラットフォーム機構の構造

図2に示すように、6本の定長リンクによって、上側プラットフォームと下側プラットフォームが組合されている。下側プラットフォームには6グループのてこクランク機構がある(後で考察する図7はその1グループである)。そして、図7の A_i を回転軸とする6つのモータの入力をそれぞれ独立に制御することで、それぞれ独立なクランク運動を発生することができる。これらのでこクランク機構の出力は6本の定長リンクを駆動することになる(図4の下側プラットフォーム)

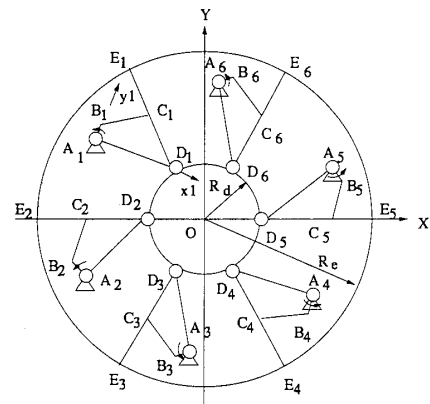


Fig. 4 A sketch of base platform

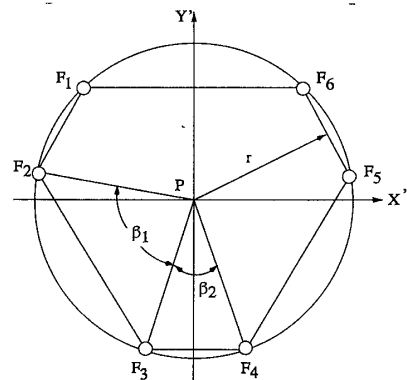


Fig. 5 A sketch of upper platform

ームの簡略平面図参照。立體的な図は図8に示してある)。これらのリンク両端の弾性関節は図1のようなくぼみ形を示している。下側プラットフォームのくぼみ形弾性関節は弾性ラック継手といわれ(弾性関節T), 上側プラットフォームのくぼみ形弾性関節は弾性回転対偶といわれる(弾性関節S)。

3. 逆運動学分析

3・1 パラレルプラットフォーム機構における位置方程式および逆運動学分析 弾性関節Tは下側プラットフォームの簡略平面図のように配置され(図4の E_i 点), 関節Sは上側プラットフォームに簡略平面図のように配置されている(図5の F_i 点)。

位置方程式：

$$(X_{F_i} - X_{E_i})^2 + (Y_{F_i} - Y_{E_i})^2 + Z_{F_i}^2 = L_i^2 \quad (i=1, \dots, 6) \quad (1)$$

$$(X_{E_i} - X_{D_i})^2 + (Y_{E_i} - Y_{D_i})^2 = (R_e - R_d)^2 \quad (i=1, \dots, 6) \quad (2)$$

より、任意の点 E_i の位置を得る。ここで各記号は次を意味する。

L_i ：6本の定長リンクの長さ

R_e : 下側プラットフォームの半径

R_d : 第1対偶が分布している円の半径

D_i : 定座標系 $\Sigma O-XYZ$ における下側プラットフォームの第 1 対偶 R の座標を表し, $D_i = \{X_{D_i}, Y_{D_i}, Z_{D_i}\}^T$ である

E_i : 定座標系 $\Sigma O-XYZ$ における下側プラット
フォームの弾性関節 T の座標を表し, $E_i = \{X_{E_i}, Y_{E_i}, Z_{E_i}\}^T$ である

F_i : 定座標系 $\Sigma O-XYZ$ における上側プラットフォームの弾性関節 S の座標を表し, $F_i = \{X_{F_i}, Y_{F_i}, Z_{F_i}\}^T$ である

$(R_e - R_d)$ はつまり $E_i D_i$ の長さである。ベクトル $F_i = \{X_{F_i}, Y_{F_i}, Z_{F_i}\}^T$ は座標変換により

ここで、上側プラットフォームの中心位置 P の姿勢を θ, ϕ, ψ で表している。また、 s と c はそれぞれ \sin, \cos を表す。

本節で求めた式より、パラレルプラットフォーム機構の逆運動学分析を得ることができる。つまり、出力 $\{X_P, Y_P, Z_P, \theta, \phi, \psi\}^T$ から図 6 に示すような入力 $\{a_1, \dots, a_6\}^T$ を求めることができる。図 6 では角 a_i が a_i'' のとき E_i が E_i' に移動し、 a_i'' のとき E_i'' に移動することを示している。ただ、方程式(1)と(2)を求める過程で一意的でない解ができる場合もある。この場合は剛性リンク $E_i D_i$ の任意時刻での運動の連続性と唯一性によって、不必要的解を除くことができる。

3・2 てこクランク機構における位置方程式および逆運動学分析 3・1 節で定義された α はてこクラ

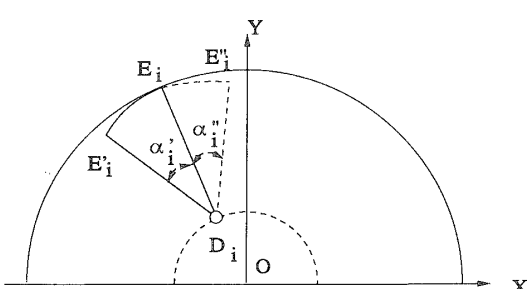


Fig. 6 Input of parallel platform mechanism

ンク機構から見るとその出力になっている。次にてこのクラシック機構における出力から入力を求めてみよう。このクラシック機構は6グループが図4のように配置されている。このクラシック機構への動作入力はモータによって与えられる。

逆運動学分析は複素数ベクトル法を用いて方程式を得る。 i 番目のテクランク機構を図 7 のように簡略に示す。次の方程式

$$ae^{j\delta_{1i}} + be^{j\delta_{2i}} = d + ce^{j\delta_{3i}} \quad (i=1, \dots, 6) \quad \dots\dots (5)$$

が成立するので δ_{3i} から δ_{1i} が得られる。 a はクラシック A_iB_i の長さ、 c はてこ D_iC_i の長さである。 b は B_iC_i 、 d は A_iD_i の長さを表す。任意時刻 t の δ_{3i}^t から零時刻の δ_{3i}^0 を引くことにより

$$\alpha_i = \delta_{3i}^t - \delta_{3i}^0 \quad (i=1, \dots, 6) \quad \dots \dots \dots \quad (6)$$

として下側プラットフォーム機構の入力角度を導くことができる。また、

$$\gamma_i = \delta_{1i}^t - \delta_{1i}^0 \quad (i=1, \dots, 6) \quad \dots \dots \dots \quad (7)$$

はてこクランク機構への入力角度、すなわち、モータの出力角度である。

3・3 機構全体の逆運動学分析

3・3 機構全体の逆運動学分析 プラットフォーム機構における上側プラットフォームの6次元速度は次の式に従って6つの一般化入力速度より求められる。

マトリックス $[G_q^p]$ は 1 次運動影響係数マトリックスといわれている⁽¹¹⁾。 $V_p = \{\omega_{px}, \omega_{py}, \omega_{pz}, v_{px}, v_{py}, v_{pz}\}^T$ は上側プラットフォームの 6 次元速度で、 $\dot{q} = \{\dot{q}_1, \dots, \dot{q}_6\}^T$ は一般化入力速度といい、つまり、 $\dot{q} = \dot{a} = \{\dot{a}_1, \dots, \dot{a}_6\}^T$ である。3・2 節で検討された結果を用い、一般化座標系からてこクランク機構の入力角速度への変換を次式で表す。

$$\dot{q} = [G_r^q] \dot{\gamma} \dots \quad (9)$$

$\dot{\gamma} = \{\dot{\gamma}_1, \dots, \dot{\gamma}_6\}^T$ はてこクランク機構への入力速度である。したがって、

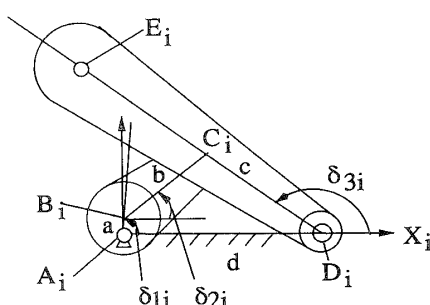


Fig. 7 A sketch of four-bar linkage

ここで、 $[G] = [G_q^P][G_q^q]$ は全機構の一次運動総合影響係数マトリックスと定義される。 $[G_q^q]$ は次の式を表している。

$$[G_q^q] = \begin{bmatrix} M_1 & & O \\ & \ddots & \\ O & & M_6 \end{bmatrix} \quad \dots \dots \dots \quad (11)$$

ここで、 M_i は次式で得られる。

$$M_i = A_{21}^i \sin \delta_{1i} + A_{22}^i \cos \delta_{1i} \quad (i=1, \dots, 6) \dots \dots \dots \quad (12)$$

ただし、 $t_1 = b/a$, $t_2 = c/a$ と置くと、 A_{21}^i と A_{22}^i は

$$\begin{bmatrix} A_{11}^i & A_{12}^i \\ A_{21}^i & A_{22}^i \end{bmatrix} = \begin{bmatrix} -t_1 \sin \delta_{2i} & t_2 \sin \delta_{3i} \\ -t_1 \cos \delta_{2i} & t_2 \cos \delta_{3i} \end{bmatrix}^{-1}$$

$$(i=1, \dots, 6) \dots \dots \dots \quad (13)$$

より求められる。

式(10)より次式が成立する。

$$\dot{\gamma} = [G]^{-1} V_p \dots \dots \dots \quad (14)$$

以上より、上側プラットフォームの運動を規定すれば、これを実現する $\dot{\gamma}$ を求めることができる。つまり、この機構に要求されるクランクの入力速度が求められる。

4. パラレルプラットフォーム機構における力釣合い方程式

ここでは、弹性モーメントと各入力トルクおよび外負荷を含む力釣合い方程式を導く。求められる各駆動トルクは、モータおよびコントローラの選定条件の参考にもなる。

6-RTS パラレルプラットフォーム機構は図 2 のように弹性関節をもつ 6 つのリンクを用いているので、伝統的な関節がもっている間隙が存在せず、位置決め、姿勢保持の精度が高い。しかし、弹性変形と弹性モーメントが存在しない伝統的な関節と異なり、駆動トルクを求める場合およびプラットフォームの力釣合い方程式をたてるときに、この弹性モーメントを無視することができない。したがって、ここでは弹性関節の実際的な運動状態における、弹性曲げ角と弹性ねじり角を求め、さらにそれぞれのリンクの弹性関節の運動および弹性モーメントを明確にする。また、線形条件の下で仮想仕事の原理に基づいて一般化座標系で等価トルクを求め、最後に、力釣合い方程式を導出する。

4・1 上側のプラットフォームにおける外力の等価トルク T_q^A 上側プラットフォームに慣性力および外界からある力とモーメントが作用すると仮定し、問題を単純化して、これらは質点 P に作用しているとする。 $F_p = \{T_{Px}, T_{Py}, T_{Pz}, f_{Px}, f_{Py}, f_{Pz}\}^T$ のような 6 次元ベクトルで表すことができる。ただし、 T は 3 次元モーメントベクトルで、 f は 3 次元力ベクトルであ

る。この 6 次元ベクトルは一次運動影響係数を直接かければ、次式のように 6 つの原動節における等価トルクが得られる。

$$T_q^A = [G_q^P]^T F_p \dots \dots \dots \quad (15)$$

ここで、 T_q^A は 6 次元外力を上側プラットフォームから一般化座標系に変換した等価トルク列ベクトルである⁽¹¹⁾。

4・2 弹性モーメントの等価トルク T_q^k

4・2・1 弹性変形 ある一つのリンク i を取る。また、以下では i の添字を省略する。

(a) 弹性曲げ角 それぞれのリンクは図 8 のように三つの剛性部で示される。これらを L_{21} , L_{22} , L_{23} と定義する。 L_{22} はつまり L_2 である。初期位置では、弹性関節は変形がないから、 L_{21} , L_{22} , L_{23} の軸線は一致する。この線の単位ベクトル方向は最初に機構を組立てたときのリンクに関する軸線の単位ベクトルである、すなわち、

$$L_{21}^0 = L_{22}^0 = L_{23}^0 = \frac{F^0 - E^0}{|F - E|} \dots \dots \dots \quad (16)$$

ここで、 E, F は先に図 4, 5 で示されたが、図 8 の弹性関節の中心点 b, a に取ることを意味する。 $|F - E|$ はリンクの長さ L_2 である。また、記号 X^0 は初期時刻 0 での X を表している。

任意時刻 t の L_{21}, L_{22}, L_{23} の軸線における単位ベクトルの変化は次式で示される。

$$L_{21}^t = [T_z] L_{21}^0 \dots \dots \dots \quad (17)$$

$$L_{22}^t = \frac{F^t - E^t}{|F - E|} \dots \dots \dots \quad (18)$$

$$L_{23}^t = [T] L_{23}^0 \dots \dots \dots \quad (19)$$

ここで、

$$F^t = [T] F^0 + P \dots \dots \dots \quad (20)$$

ただし、 X^t は任意時刻 t での X を表している。マトリックス $[T]$ の意味は式(4)と等しく、 $[T_z]$ は固

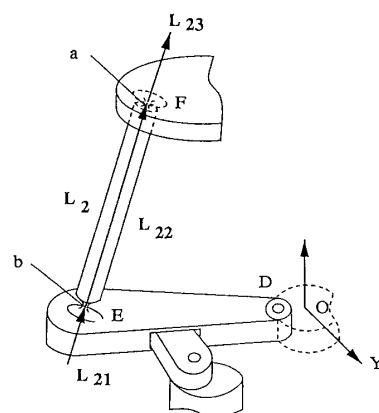


Fig. 8 Axis of a link in the initial state

- Actuated Robot-Arms, *ASME J. Mech. Trans. and Autom. Design*, **105** (1983), 705-712.
- (3) Fichter, E. F., A Stewart Platform-Based Manipulator: General Theory and Practical Construction, *Int. J. Robotics Research*, **5-2** (1986), 157-182.
- (4) Griffis, M. and Duffy, J., A Forward Displacement Analysis of a Class of Stewart Platforms, *J. Robotic Systems*, **6-6** (1989), 703-720.
- (5) Ma, O. and Angles, J., Architecture Singularities of Platform Manipulators, *Proc. 1991 IEEE Int. Conf. Robotics and Autom.*, (1991), 1542-1547.
- (6) Takeda, Y. and Funabashi, H., Motion Transmissibility of In-Parallel Actuated Manipulators, *JSME Int. J., Ser. C*, **38-4** (1995), 749-755.
- (7) 特集パラレルメカニズム, 日本ロボット学会誌, **10-6** (1992).
- (8) パラレルメカニズム研究専門委員会報告書, (1993), 日本ロボット学会.
- (9) Hudgens, J. C. and Tesar, D., A Fully-Parallel Six Degree-of-Freedom Micromanipulator: Kinematic Analysis and Dynamic Model, *ASME 20th Biennial Mech. Conf. Orlando*, Florida, Sep, (1988), 29-37.
- (10) Hara, A. and Sugimoto, K., Synthesis of Parallel Micromanipulators. *ASME J. Mech. Trans. Autom. Des.*, **111** (1989), 34-39.
- (11) Huang, Z., *Spatial Mech.*, (1991), 227, 253, China Press.